

## Nonlinear optimization on regular black hole solutions

Sayed Hamid Mehdipour<sup>\*1</sup>, Armin Ghane Kanafi<sup>2</sup>, Seyed Mohsen Peyghoon<sup>3</sup>

<sup>1</sup> Department of Physics, College of Basic Sciences, Lahijan Branch, Islamic Azad University, P. O. Box 1616, Lahijan, Iran

<sup>2</sup> Department of Mathematics, College of Basic Sciences, Lahijan Branch, Islamic Azad University, P. O. Box 1616, Lahijan, Iran

<sup>3</sup> Ibne Shahr Ashoob-e Saravi Student Research Center, Administration of Education, District 1, Sari, Iran

Received: 13.06.2021    Revised: 24.09.2021    Accepted: 23.11.2021

Doi: [10.22055/jrmb.2022.17346](https://doi.org/10.22055/jrmb.2022.17346)

### Abstract

Using a nonlinear optimization approach, this paper seeks to find optimal solutions for different states of nonsingular black holes in noncommutative space-time that include nonlinear constraints of the inequality type. In order to solve the nonlinear optimization problem resulting from the physical model, the successive quadratic programming method is used. In the mentioned framework, an optimal maximum solution of the Lagrangian uncertainty function is obtained for the particular values of free parameters of the problem, so that the optimal state is somewhat independent of quantum effects and the solution corresponding to the classical state is achieved in very short distances. In other words, the final stage of evaporation of black holes depends only in part on the inherent property of manifold in noncommutative geometry and is independent of the magnetic charge. However, the noncommutative effects, albeit trivial, are individually sufficient to generate remnants at the end of black holes' lifetime and prevent the classical solution from being singular on a microscopic scale of space-time.

**Keywords:** Nonlinear optimization method, Successive quadratic programming, Nonlinear electrodynamics, Hayward black hole, Noncommutative effects, Singularity, Hawking radiation, Uncertainty principle

---

\* Corresponding Author: mehdipour@liau.ac.ir

## بهینه‌سازی غیرخطی روی جواب‌های سیاهچاله‌های ناتکین

سید حمید مهدی پور<sup>۱\*</sup>، آرمین قانع کنفی<sup>۲</sup>، سید محسن پیغون<sup>۳</sup>

<sup>۱</sup> گروه فیزیک، دانشکده علوم پایه، دانشگاه آزاد اسلامی واحد لاهیجان، لاهیجان، ایران

<sup>۲</sup> گروه ریاضی، دانشکده علوم پایه، دانشگاه آزاد اسلامی واحد لاهیجان، لاهیجان، ایران

<sup>۳</sup> پژوهش سرای دانش آموزی ابن شهر آشوب، اداره آموزش و پرورش، ناحیه ۱، ساری، ایران

دریافت: ۱۴۰۰/۰۳/۲۳ ویرایش نهایی: ۱۴۰۰/۰۷/۰۲ پذیرش: ۱۴۰۰/۰۹/۰۲

Doi: [10.22055/jrmb.2022.17346](https://doi.org/10.22055/jrmb.2022.17346)

### چکیده

این مقاله، با بهره‌گیری از رهیافت بهینه‌سازی غیرخطی، به جستجوی جواب‌های بهینه برای حالت‌های مختلف از سیاهچاله‌های ناتکین در فضا-زمان ناجابه‌جایی که شامل قیود غیرخطی از نوع نامساوی هستند، پرداخته است. به‌منظور حل مسأله بهینه‌سازی غیرخطی حاصل از مدل فیزیکی، از روش برنامه‌ریزی درجه دوم متوالی بهره گرفته می‌شود. در چارچوب مذکور، یک جواب بیشینه بهینه به‌ازای مقادیری ویژه از پارامترهای آزاد مسأله برای تابع عدم قطعیت لاگرانژی به‌دست می‌آید؛ به‌طوری‌که حالت بهینه تا حدودی مستقل از اثرات کوآتومی بوده و جوابی متناظر با حالت کلاسیک در فواصل بسیار کوتاه حاصل گردیده است. به‌عبارت دیگر، مرحله نهایی تبخیر سیاهچاله‌ها تنها به خاصیت ذاتی از خمینه در هندسه ناجابه‌جایی به‌صورت جزئی وابسته است و مستقل از بار مغناطیسی می‌باشد؛ با این وجود، اثرات ناجابه‌جایی هرچند بسیار اندک به تنهایی کفایت می‌کنند تا باعث ایجاد پسماندهایی در پایان عمر سیاهچاله‌ها گردند و از تکین شدن جواب کلاسیک در مقیاس ریز فضا-زمان جلوگیری نمایند.

**کلیدواژگان:** بهینه‌سازی غیرخطی، برنامه‌ریزی درجه دوم متوالی، الکترودینامیک غیرخطی، سیاهچاله هیوارد، اثرات ناجابه‌جایی، تکینگی، تابش هاوکینگ، اصل عدم قطعیت

### مقدمه

رهیافت گرادیان، گرادیان مزدوج، نیوتن و شبه‌نیوتن اشاره نمود [۱]. حوزه حل مسائل بهینه‌سازی غیرخطی شامل مسائل نامقید و مقید از نوع پیوسته و گسسته می‌باشد [۲]. روش‌های بسیاری برای حل مسائل بهینه‌سازی غیرخطی پیوسته توسط محققین متفاوت ارائه شده است. در بین سال‌های ۱۹۷۰ و ۱۹۸۰ تلاش‌های بسیاری جهت توسعه روش‌های حل مسائل بهینه‌سازی غیرخطی پیوسته صورت گرفت. به‌عنوان نمونه، روش شبه‌نیوتن، نخستین بار توسط داویدون<sup>۲</sup> برای حل مسائل بهینه‌سازی نامقید ارائه شد [۳]. سپس

بهینه‌سازی را می‌توان علم تشخیص مطلوب‌ترین جواب برای مسأله‌ای که دارای تعریفی مشخص در ریاضیات است، معرفی نمود. در حقیقت، بهینه‌سازی به‌عنوان رهیافتی به‌سوی نتیجه بهتر، در عملیاتی که دارای محدودیت‌های مشخصی است، به‌کار می‌رود. از زیرشاخه‌های اصلی در مباحث بهینه‌سازی، حل مسائل بهینه‌سازی غیرخطی<sup>۱</sup> است. امروزه، تکنیک‌های محاسباتی گوناگونی به‌منظور حل این‌گونه از مسائل ارائه شده‌اند که از پرکاربردترین آنها، می‌توان به

\* نویسنده مسئول: mehdipour@liau.ac.ir

<sup>1</sup> Nonlinear optimization

<sup>2</sup> Davidon



این‌رو، تانسور انرژی-تکانه<sup>۱۱</sup> دچار تغییر می‌گردد، اما تانسور اینشتین در معادلات میدان گرانش بدون هیچ گونه تغییری حفظ می‌شود. به‌عنوان یک نتیجه‌جالب از گستردگی ساختار ریز<sup>۱۲</sup> در این مدل ناجابه‌جایی می‌توان به حذف تکینگی انحنای در مبدأ سیاهچاله‌ها اشاره نمود. به‌جای یک تکینگی انحنای، یک حالت خلاء دوسویه ناتکین<sup>۱۳</sup> ناشی از اثر افت و خیزهای شدید کوآتومی در فواصل کوتاه پدیدار خواهد شد. در واقع یک سیاهچاله ناجابه‌جایی دارای ترکیبی از یک هسته دوسویه حول مبدأ به‌همراه متریک معمول سیاهچاله در نواحی دور از مبدأ می‌باشد. از این‌رو ماهیت هسته دوسویه در مرکز سیاهچاله از فروپاشی آن به یک حالت تکین جلوگیری می‌کند و یک متریک معمول در فواصل بزرگ (نواحی که رفتار طول کمینه بی‌اهمیت است) حاصل می‌آید، در حالی که فیزیک جدیدی در فواصل کوچک پدیدار می‌گردد.

از سویی دیگر، منبع فیزیکی یک سیاهچاله ناتکین (RBH)<sup>۱۴</sup> را می‌توان به‌صورت یک میدان گرانشی در نظریه الکترودینامیک غیرخطی (NED)<sup>۱۵</sup> نیز تفسیر نمود [۱۶]. دو هدف مهم در نظریه NED وجود دارد: ۱- در نظر گرفتن میدان الکترومغناطیسی به‌همراه ذرات در چارچوبی با منبع فیزیکی<sup>۲</sup> - ممنوعیت از واگرایی کمیت‌های فیزیکی. فرآیند مشابهی توسط یک مدل فیزیکی معتبر از NED جفت شده با گرانش حاصل می‌آید؛ به‌گونه‌ای که جواب‌های باردار الکتریکی ناتکین با تقارن کروی، شرط ضعیف انرژی را تصدیق کرده و شامل یک مرکز دوسویه غیر قابل انکار می‌باشند [۱۴].

تحلیل ساختاری آن به‌طور کامل توسط دنیس و مور<sup>۱</sup> مورد بررسی قرار گرفت [۴]. تاکنون گام‌های بسیاری جهت توسعه نظریه روش‌های حل مسائل بهینه‌سازی غیرخطی پیوسته برداشته شده است، با این وجود همچنان محققین بسیاری به‌صورت مستمر در حال بررسی و ارائه روش‌هایی در راستای بهبود نتایج حاصل، به‌ویژه برای مسائلی در ابعاد بالا، هستند؛ از آن جمله می‌توان به‌روش برنامه‌ریزی درجه دوم متوالی (SQP)<sup>۲</sup> و روش‌های لاگرانژ افزوده<sup>۳</sup> اشاره نمود [۵-۷]. در سال‌های اخیر نیز، توجه ویژه معطوف بر کاربرد تکنیک‌های بهینه‌سازی در فیزیک، اقتصاد و مهندسی بوده است که عموماً از متغیرهای گسسته یا پیوسته در فرمولبندی آنها استفاده شده است [۸-۱۲]. یکی از مسائل مهم در فیزیک ذرات و کیهان‌شناسی، مبحث تکینگی مرکزی<sup>۴</sup> می‌باشد که مخصوصاً در فیزیک سیاهچاله‌ها به‌عنوان یک واقعیت تفکیک‌نشده از نظریه نسبیت عام (GR)<sup>۵</sup> اینشتین<sup>۶</sup> درآمده و به‌شکل گسترده‌ای مورد پذیرش قرار گرفته است [۱۳]. با این وجود، رهیافت‌های گوناگونی در باب پدیده شناختی جهت حل این مسأله از طریق یک مرکز ناتکین مورد بحث قرار گرفته‌اند [۱۴]. به‌عنوان نمونه در یک مدل الهام یافته از هندسه ناجابه‌جایی (NCG)<sup>۷</sup>، یک ذره نقطه‌ای در فضا-زمان ناجابه‌جایی با یک تابع توزیع دلتا-دیراک<sup>۸</sup> توصیف نمی‌شود، بلکه به‌صورت یک ذره لکه‌ای<sup>۹</sup> توسط یک تابع توزیع گاوسی<sup>۱۰</sup> با پهنای  $\sqrt{\theta}$  توصیف می‌گردد، به‌گونه‌ای که تفکیک مختصاتی فراسوی این پهنای کمینه امکان‌پذیر نیست [۱۵]. از

<sup>9</sup> Smearred-like particle

<sup>10</sup> Gaussian distribution

<sup>11</sup> Energy-momentum tensor

<sup>12</sup> Extended microstructure

<sup>13</sup> Regular deSitter vacuum state

<sup>14</sup> Regular black hole

<sup>15</sup> Nonlinear electrodynamics

<sup>1</sup> Dennis and Moré

<sup>2</sup> Successive quadratic programming

<sup>3</sup> Augmented Lagrangian methods

<sup>4</sup> Central singularity

<sup>5</sup> General relativity

<sup>6</sup> Einstein

<sup>7</sup> Noncommutative geometry

<sup>8</sup> Dirac-delta function distribution

ادعا کردند که برخلاف دیدگاه متعارف، GUP قادر است از ناپدید گشتن کامل سیاهچاله‌های کوچک ممانعت کند، درست به همان شیوه که HUP از فروپاشی کامل اتم هیدروژن جلوگیری می‌کند. آنها رهیافت GUP را برای استخراج تابش هاوکینگ<sup>۸</sup> در یک روش ابتکاری به کار گرفتند تا دمای تصحیح یافته سیاهچاله را پیدا نمایند. در این روش ابتکاری، دمای هاوکینگ با بهره‌گیری از HUP و خواص عمومی سیاهچاله‌ها به دست می‌آید [۲۷]. از این رو، می‌توان از فیزیک سیاهچاله‌ها استنباط نمود که هر نظریه گرانش کوآنتومی<sup>۱۱</sup> می‌بایست دارای یک طول کمینه ذاتی از مرتبه طول پلانک باشد [۲۸]. از آن گذشته، مطالعات فراوانی در نظریه ریسمان و NCG به‌نوع خاصی از تصحیحات روی HUP می‌پردازند که به‌حضور کرانی مشخص جهت تفکیک احتمالی فواصل در مقیاس‌های ویژه اشاره دارند [۲۹]. به‌راستی که به‌دلیل حضور انرژی‌های بالا در فواصل کوتاه در یک خمینه ناجابه‌جایی<sup>۱۲</sup>، اثرات افت و خیزهای کوآنتومی خمینه قابل توجه می‌شوند و از هر نوع اندازه‌گیری جهت تعیین مکان یک ذره با دقتی بیشتر از مقیاس طول ذاتی، ممانعت می‌کنند. از این پدیده به‌عنوان مثالی از نقض موضعی<sup>۱۳</sup> در محدوده طول پلانک یاد می‌شود [۳۰]. بر اساس ناجابه‌جایی، استخراج متریک سیاهچاله‌های ناجابه‌جایی با اجرایی کردن طول کمینه مشاهده پذیر روی GR انجام می‌شود. اخیراً، ما مراحل نهایی تبخیر سیاهچاله‌ها را برای جواب‌های باردین و هیوارد در فضای ناجابه‌جایی تحلیل نموده‌ایم [۳۱، ۳۲]. نتایج نشان دادند که رفتار تابش هاوکینگ به‌طور قابل توجهی

سیاهچاله باردین<sup>۱</sup> به‌عنوان اولین مدل از سیاهچاله‌های ناتکین در GR شناخته می‌شود که توسط باردین در سال ۱۹۶۸ مطرح گردیده است [۱۷]. جواب هیوارد<sup>۲</sup>، نوع معروف دیگری از فضا-زمان‌های ناتکین محسوب می‌شود. به‌طوری‌که ناحیه ایستا در آن باردین-گونه است، در حالی‌که نواحی پویا در آن وایدیا-گونه<sup>۳</sup> هستند [۱۸]. مطالعات بیشماری در خصوص جواب‌های دیگر نظریه گرانش ترکیب شده با NED صورت گرفته است، به‌عنوان نمونه به مقالات [۱۹-۲۲] مراجعه نمایید.

در سال‌های اخیر، تصحیحات مهمی روی اصل عدم قطعیت هایزنبرگ (HUP)<sup>۴</sup> در مقیاس‌های حدی همچون مقیاس فرابنفش (UV)<sup>۵</sup> و مقیاس فروسرخ (IR)<sup>۶</sup> پیشنهاد شده‌اند [۲۳]. در مقیاس UV، ترکیب گرانش در نظریه میدان کوآنتومی به‌طور مؤثری منجر به یک برش در رژیم انرژی بالا یعنی مقیاس طول کمینه از مرتبه طول پلانک<sup>۷</sup>  $l_{Pl} \approx 10^{-35}m$  خواهد شد. مطالعات روی برخوردهای ریسمان در انرژی‌های پلانکی به‌همراه مجموعه تحلیلی از نوع بازبهنجارش منجر به اصلاح HUP می‌شود که به اصل عدم قطعیت تعمیم یافته (GUP)<sup>۸</sup> معروف است [۲۴]. کاربرد GUP در ترمودینامیک سیاهچاله‌ها توجهات بسیاری را به‌خود جلب کرده است و به اصلاحات قابل توجهی در فرآیند گسیل، به‌خصوص در مراحل نهایی تبخیر، منجر گشته است [۲۵]. اشاره به این نکته حائز اهمیت است که ترمودینامیک سیاهچاله‌ها در حقیقت ارتباطی عمیق میان فیزیک سیاهچاله‌ها و نظریه کوآنتوم برقرار می‌کند. به‌عنوان مثال، در سال ۲۰۰۱، آدلر<sup>۹</sup> و همکاران [۲۶]

<sup>8</sup> Generalized uncertainty principle

<sup>9</sup> Adler

<sup>10</sup> Hawking radiation

<sup>11</sup> Quantum gravity theory

<sup>12</sup> Noncommutative manifold

<sup>13</sup> Locality violation

<sup>1</sup> Bardeen black hole

<sup>2</sup> Hayward solution

<sup>3</sup> Vaidya-like

<sup>4</sup> Heisenberg uncertainty principle

<sup>5</sup> Ultraviolet scale

<sup>6</sup> Infrared scale

<sup>7</sup> Planck length

خانواده، روش SQP است که از نقطه‌شدنی در امتداد جهتی که مجهول است و باید تعیین شود، با طول گام مثبت حرکت می‌کند، به طوری که ضمن شدنی باقی ماندن نقطه جدید، شرایطی را به وجود می‌آورد که مقدار تابع هدف نامطلوب‌تر نگردد [۳۴].

لازم است در اینجا ارجحیت رهیافت SQP نسبت به سایر روش‌های بهینه‌سازی مورد ارزیابی قرار گیرد. الگوریتم SQP با بهره گرفتن از روش نیوتن به طور مستقیم، شرایط همگرایی کان-تاکر<sup>۴</sup> را برای مسئله اولیه برقرار می‌سازد. یکی از خصوصیات جالب توجه رهیافت SQP آن است که زیر مسئله متج شده‌ای که باید کمینه گردد، یک تقریب درجه دوم از تابع لاگرانژ بهینه شده روی تقریب خطی از محدودیت‌ها است. این خصوصیت منجر به یافتن جواب‌های بهینه مسئله اولیه و مضارب لاگرانژ بهینه نیز می‌شود. ویژگی‌های نام برده در کنار پیاده سازی رایانه‌ای از دلایل استفاده از این روش می‌باشد. الگوریتم‌های دیگر همچون زوتندیک<sup>۵</sup>، توپکیس و وینوت اصلاح شده<sup>۴</sup> که از تقریب مرتبه اول استفاده می‌کنند، مستعد همگرایی کند و زیگزاگی<sup>۵</sup> هستند [۳۵]. روش‌های دیگر از جمله برنامه‌ریزی خطی متوالی (SLP)<sup>۶</sup> تنها زمانی که بهینگی در گوشه‌های ناحیه شدنی رخ دهد، دارای همگرایی مرتبه دوم خواهد بود [۳۶]. این روش برای جواب‌های بهینه غیرگوشه‌ای، همگرایی مرتبه اول و کند خواهد داشت. جهت رفع این مشکلات، از رهیافت SQP بهره می‌گیرند که با تقریب مرتبه دوم کار می‌کند [۳۴]. به طور خلاصه می‌توان ویژگی‌های مطلوب روش SQP و مزیت‌های به کارگیری این الگوریتم را در پیاده‌سازی آسان آن نسبت به روش‌های نامبرده و همچنین سرعت همگرایی قابل قبول تحت شرایط مناسب به همراه

در رژیم شعاع‌های کوچک تغییر می‌کند، به گونه‌ای که سیاهچاله به طور کامل تبخیر نمی‌شود و یک باقیمانده پایدار از سیاهچاله در فاز نهایی تبخیر به جا خواهد ماند. همچنین در مرجع [۳۳] نشان داده شد که یک رابطه عدم قطعیت اصلاح یافته ناشی از بارهای مغناطیسی غیرخطی و اثرات ناجابه‌جایی در بطن پدیده تابش هاوکینگ قابل استخراج است. در مقاله حاضر، ما می‌خواهیم به گسترش مقاله [۳۳] پردازیم و چگالی لاگرانژی<sup>۱</sup> بخش غیرخطی وابسته به تانسور میدان الکترومغناطیسی مربوط به متریک سیاهچاله متقارن کروی، ایستا و باردار ناتکین را به کمک حل مسئله بهینه سازی غیرخطی تحلیل نماییم. ما دمای هاوکینگ سیاهچاله هیوارد ناجابه‌جایی را به دست می‌آوریم و از دمای تصحیح شده بهره می‌گیریم تا یک رابطه عدم قطعیت اصلاح یافته را که شامل چگالی لاگرانژی است، استخراج نماییم، دقیقاً به همان گونه که GUP، یک دمای هاوکینگ اصلاح شده را خلق می‌کند. جهت نائل آمدن به یک جواب بهینه از حل مدل سیاهچاله‌های ناتکین که شامل قیودی از نوع نامساوی غیرخطی می‌باشند، می‌توان از روش SQP استفاده نمود. مسئله قابل بحث در مقاله حاضر، دارای تابع هدف غیرخطی با محدودیت‌هایی از نوع نامساوی می‌باشد، لذا نمی‌توان از روش‌هایی نظیر جستجوی خطی با و بدون مشتق گیری، یا روش نیوتن و اصلاحات آن استفاده کرد. یکی از گزینه‌های مناسب، استفاده از تابع جریمه و تابع مانع است که می‌توان با اعمال جریمه‌هایی در تابع هدف مسئله بهینه‌سازی مقید را به نامقید تبدیل نمود [۱]. آنالیز همگرایی این روش‌ها نشان می‌دهد که دارای نرخ همگرایی پایین‌تری نسبت به روش‌های جهت‌های شدنی هستند. یکی از روش‌های پرکاربرد و مناسب این

<sup>4</sup> Topkis and Vienott's modification algorithms

<sup>5</sup> Zigzag

<sup>6</sup> Successive linear programming

<sup>1</sup> Lagrangian density

<sup>2</sup> Kuhn-Tucker convergence conditions

<sup>3</sup> Zoutendijk

$$I = \frac{1}{4\pi} \int \left( \frac{1}{4} R - \mathcal{L}(F) \right) \sqrt{-g} d^4x, \quad ۱$$

که در آن  $R$ ، اسکالر انحنای<sup>۱</sup> مرتبط با عنصر خط  $g_{\mu\nu}$  می‌باشد و چگالی لاگرانژی  $\mathcal{L}(F)$ ، یک تابع غیرخطی دلخواه از نوردای لورنتس<sup>۲</sup>،  $F = \frac{1}{4} F_{\mu\nu} F^{\mu\nu}$ ، است.

$$\text{تانسور میدان الکترومغناطیسی با رابطه زیر داده می‌شود:} \\ F_{\mu\nu} = 2\nabla_{[\mu} A_{\nu]}, \quad ۲$$

که در آن  $A_\mu$ ، ۴-بردار پتانسیل می‌باشد. این نکته می‌بایست مورد توجه قرار گیرد که چگالی لاگرانژی در میدان الکترومغناطیسی ضعیف به مجانب ماکسولی<sup>۳</sup> میل می‌نماید، یعنی هنگامی که  $F \rightarrow 0$ ، آنگاه داریم:

$$\begin{cases} \mathcal{L}(F) \rightarrow F, \\ \mathcal{L}_F \equiv \frac{\partial \mathcal{L}}{\partial F} \rightarrow 1. \end{cases} \quad ۳$$

معادلات میدان اینشتین-NED منتج از کنش<sup>۱</sup> به صورت زیر حاصل می‌شوند:

$$G_\mu{}^\nu = 2(\mathcal{L}_F F_{\mu\lambda} F^{\nu\lambda} - \delta_\mu{}^\nu \mathcal{L}), \quad ۴$$

$$\nabla_\mu (\mathcal{L}_F F^{\mu\nu}) = 0. \quad ۵$$

حال یک جواب حدسی عام برای سیاهچاله‌ای که دارای ترکیب تقارن کروی ایستا به همراه بار مغناطیسی غیرخطی است، لحاظ می‌کنیم:

$$ds^2 = U(r) dt^2 - U^{-1}(r) dr^2 - r^2 d\Omega^2, \quad ۶$$

که در آن  $d\Omega^2 = d\theta^2 + \sin^2 \theta d\phi^2$ ، عنصر سطح کره واحد ۲-بعدی است. تابع متریک  $U(r)$  توسط رابطه زیر تعریف می‌شود:

$$U(r) = 1 - \frac{2M(r)}{r}, \quad ۷$$

که در آن  $M(r)$ ، تابع توزیع جرم است. تانسور میدان الکترومغناطیسی برای یک سیاهچاله ایستای باردار با تقارن کروی دارای ۲ مؤلفه غیر صفر، یعنی:  $F_{01}$  و  $F_{23}$ ، متناظر با به ترتیب میدان‌های شعاعی الکتریکی و مغناطیسی می‌باشد. در این صورت، ۴-بردار پتانسیل در مختصات کروی  $(t, r, \theta, \phi)$  به شکل

دست‌یابی به جواب‌های بهینه اولیه و همچنین مضارب لاگرانژ بهینه خلاصه نمود که در جمع‌بندی گزینه‌های پیش رو، مورد انتخاب قرار گرفته است.

در این مقاله، موارد زیر را به ترتیب بررسی می‌نماییم: در بخش بعد، به توصیف معادلات میدان الکترومغناطیسی غیرخطی در فضا-زمان‌های نانتکین می‌پردازیم. اثرات گستردگی ساختار ریز روی فضا-زمان هیوارد در ادامه مورد بررسی قرار می‌گیرد. سپس، دمای هاوکینگ سیاهچاله هیوارد ناجابه‌جایی را تعیین می‌کنیم و به منظور یافتن اثر چگالی لاگرانژی روی تابش هاوکینگ، به تحلیل رابطه عدم قطعیت اصلاح یافته برای فوتون‌های تابش شده‌ای که از طریق HUP استخراج شده‌اند، می‌پردازیم. در این راستا، ارتباطی میان چگالی لاگرانژی RBH و اصل عدم قطعیت آشکار می‌شود. همچنین، بهینه‌سازی غیرخطی را روی جواب سیاهچاله‌های نانتکین به اجرا گذاشته و جواب‌های بهینه را برای حالت‌های مختلف به کمک روش SQP به دست می‌آوریم. در بخش پایانی، نتایج نهایی به شکل خلاصه ارائه می‌گردند. در سرتاسر مقاله، شاخص‌های یونانی به اعداد صفر تا سه اشاره دارند. همچنین برای سادگی، از واحدهای طبیعی با تعریف  $\hbar = c = G = k_B = 1$  استفاده کرده‌ایم.

## جفت‌شدگی میان گرانش اینشتین و الکترودینامیک غیر خطی

در این بخش، ما شکل عام متریک‌های RBH با تقارن کروی، ایستا و باردار در GR را که با NED جفت شده‌اند، مورد بررسی قرار می‌دهیم. ما با کنشی که توصیف‌گر دینامیک یک میدان خود-گرانشی NED در GR است، شروع می‌کنیم:

<sup>3</sup> Maxwell asymptotic

<sup>1</sup> Curvature scalar

<sup>2</sup> Lorentz invariant

است. حال چگالی لاگرانژی برحسب تابع  $r$  با حل معادلات میدان و بهره‌گیری از رابطه<sup>۷</sup> به صورت زیر قابل حصول است:

$$\mathcal{L}(r) = \frac{1}{r^2} \frac{dM(r)}{dr}, \quad ۱۱$$

که برای سیاهچاله هیوارد به راحتی با رابطه زیر مشخص می‌شود:

$$\mathcal{L}(r) = \frac{3mh^3}{(r^3+h^3)^2}. \quad ۱۲$$

به آسانی دیده می‌شود که برای حالت جرم ADM<sup>۱</sup> در فاصله بینهایت ( $r \rightarrow \infty$ )، تابع جرم به مقدار ثابتی کاهش می‌یابد، یعنی:  $M(r) = m$  و همان‌طور که انتظار آن می‌رفت، سیاهچاله شوارتزشیلد<sup>۲</sup> بازیابی می‌شود که در حقیقت به جواب معادلات اینشتین در خلأ اشاره دارد ( $\mathcal{L} = 0$ ). همچنین برای حالت  $\mathcal{L} = F$  به جواب سیاهچاله باردادار مغناطیسی رایزنر-نوردشتروم<sup>۳</sup> می‌رسیم، یعنی:  $M(r) = m - \frac{Q_m^2}{2r}$  که مطابق با انتظار به جواب نظریه اینشتین-ماکسول اشاره می‌کند.

### اثر گستردگی ساختار ریز روی سیاهچاله هیوارد

در این بخش، می‌خواهیم تأثیر یک ساختار گسترش یافته متناظر با دیدگاه مقیاس ریز فضا-زمان را روی سیاهچاله هیوارد تحلیل نماییم. ما ناجابه‌جایی را جهت داشتن مقیاس طول کمینه ذاتی، معادل با  $\sqrt{\vartheta}$  لحاظ می‌کنیم. بنابراین، یک ساختار نقطه‌ای را نمی‌توان با یک تابع توزیع دلتا-دیراک تشریح نمود، بلکه آن را به کمک تابع توزیع گاوسی لکه‌ای با پهنای کمینه  $\sqrt{\vartheta}$  توصیف می‌نماییم. در اینجا  $\vartheta$ ، به عنوان کوچکترین سلول بنیادی از یک سطح مشاهده پذیر در نظریه تغییر شکل یافته محسوب می‌شود. با وجود اینکه تانسور اینشتین

نمایش داده می‌شود. در رابطه فوق،  $Q_e$  و  $Q_m$  به ترتیب بارهای الکتریکی و مغناطیسی هستند. به کمک معادلات ۵، ۲ و ۴- بردار پتانسیل می‌توان مؤلفه‌های غیر صفر  $F_{\mu\nu}$  را به صورت زیر به دست آورد:

$$\begin{cases} F_{01} = -\frac{Q_e}{r^2 \mathcal{L}_F}, \\ F_{23} = Q_m \sin\theta. \end{cases} \quad ۸$$

شایان ذکر است که حل تحلیلی معادلات حرکت به ازای بارهای دوگانه الکتریکی و مغناطیسی بسیار بغرنج است. لذا در اینجا می‌خواهیم به جواب‌های دقیق سیاهچاله‌ای صرفاً با محتوای بار مغناطیسی بپردازیم؛ یعنی:  $Q_e = 0$ ؛ به این دلیل که در NED، علت نانتکین بودن جواب فقط برخاسته از بار مغناطیسی است. به بیانی دیگر، در یک ترکیب مغناطیسی خالص، تنها مؤلفه غیر صفری که از تانسور میدان الکترومغناطیسی باقی می‌ماند، مؤلفه  $F_{23}$  است. برای جزئیات محاسباتی بیشتر می‌توان به مقاله [۲۲] مراجعه نمود. بار مغناطیسی کل سیاهچاله را نیز می‌توان با رابطه زیر ارائه نمود:

$$Q_m = \frac{1}{4\pi} \int dA. \quad ۹$$

با استفاده از معادله<sup>۵</sup>، مربع شدت میدان به صورت  $F = \frac{2Q_m^2}{r^4}$  به دست می‌آید.

با انتخاب یک تابع جرم فیزیکی مناسب می‌توان چگالی لاگرانژی را برای حالت متقارن کروی ایستا که شامل بار مغناطیسی باشد، استخراج نمود. تابع جرم هیوارد [۱۸] قادر است تا شرایط مذکور را ارضاء نماید:

$$M(r) = \frac{mr^3}{r^3+h^3}, \quad ۱۰$$

که در آن  $h$  (برحسب واحد طول)، پارامتر آزاد هیوارد نام دارد و مرتبط با بار مغناطیسی کل سیاهچاله است [۳۲]. مقدار  $h$  محدود به اعداد مثبت است؛ چون جواب سیاهچاله تنها به ازای مقادیر مثبت از این پارامتر موجود

<sup>3</sup> Reissner-Nordström

<sup>1</sup> Arnowitt-Deser-Misner mass

<sup>2</sup> Schwarzschild black hole

$$M(r) \rightarrow \frac{mr^3}{r^3 + \frac{1}{3}}, \quad ۱۶$$

در حالی که برای حالت  $\vartheta \neq 0$  و  $h = 0$  خواهیم داشت:

$$M(r) \rightarrow m \left[ G\left(\frac{r}{2\sqrt{\vartheta}}\right) - \frac{r}{\sqrt{\pi\vartheta}} \exp\left(-\frac{r^2}{4\vartheta}\right) \right]. \quad ۱۷$$

این بدان معناست که به ازای  $\vartheta \rightarrow 0$  و  $h \rightarrow 0$  تابع جرم ۱۴ با جرم ADM در فواصل بسیار دور، یعنی:  $m$  که متناظر با حالت شوارتزشیلد است، معادل می‌شود.

### عدم قطعیت در تعیین چگالی لاگرانژی

بنیان HUP به‌عنوان یک ابزار مفهومی لازم جهت درک تمایزها میان نظریه کلاسیک و کوانتوم به‌شکل گسترده‌ای مورد پذیرش قرار گرفته است. با فرض آنکه HUP همیشه قادر نیست تا شالوده چیزی که غیر کلاسیک است را در حوزه مکانیک کوانتومی کشف کند، منطقی است که از تعمیم دادن آن صحبت نماییم. به‌عبارت دیگر، یک فرمولبندی کامل از HUP می‌تواند عصاره کوانتومی را از نظریه کوانتوم استخراج نماید. به‌عنوان مثال، حضور یک طول کمینه مشاهده‌پذیر گویای یک خصیصه پدیده شناختی از تمامی رهیافت‌های منتهی به گرانش کوانتومی است که به GUP منجر می‌شود:

$$\Delta x \Delta p \geq \frac{1}{2} (1 + \varrho (\Delta p)^2), \quad ۱۸$$

که در آن  $\varrho$ ، ثابتی از مرتبه واحد است که معمولاً مثبت اختیار می‌شود و وابسته به جزئیات نظریه گرانش کوانتومی است. رابطه GUP به یک عدم قطعیت کمینه معین  $\Delta x_{\min} = \sqrt{\varrho}$  اشاره دارد. از این رو،  $\Delta x_{\min} > 0$  را می‌توان نمودی از فضای فازی دانست و یا به‌عنوان نتیجه‌ای از ساختار لکه‌ای ذرات بنیادی در نظر گرفت. در بیانی متفاوت، ساختار فضا-زمان با مفهوم طول کمینه مؤثر گره خورده است؛ به‌گونه‌ای که تمامی اندازه

مستقیماً تغییر شکل نمی‌دهد، اما تغییر شکل در تانسور انرژی-تکانه توسط یک ساختار گسترش یافته منجر به القای یک تغییر شکل در معادله اصلی اینشتین خواهد شد. متریک کلاسیک متعارف در فواصل بزرگ بازیابی می‌شود، در حالی که در فواصل کوتاه انتظار فیزیک جدیدی را خواهیم داشت؛ جایی که از اثر گستردگی ساختار ریز نمی‌توان چشمپوشی نمود.

در رهیافت مختصه حالت‌های همدوس<sup>۱</sup> که توسط اسمایلاجیک و اسپالوچی<sup>۲</sup> [۳۰] پیشنهاد شده است، یک جرم نقطه‌ای  $m$  به‌جای اینکه به‌طور کامل در یک نقطه متمرکز شده باشد، به‌صورت یک ساختار لکه‌ای در سرتاسر ناحیه‌ای خطی به‌اندازه  $\sqrt{\vartheta}$  پخش می‌شود. رویکرد انتخابی ما در اینجا به‌جستجوی یک توزیع جرم گاوسی، با پهنای کمینه، متقارن کروی و ایستا می‌پردازد؛ به‌گونه‌ای که اندازه ناجابه‌جایی در آن توسط پارامتر  $\sqrt{\vartheta}$  تعیین می‌شود. بنابراین، می‌بایست توزیع‌های جرم را توسط تابع توزیع لکه‌ای مدل نماییم:

$$\rho_{\vartheta}(r) = \frac{m}{(4\pi\vartheta)^{\frac{3}{2}}} \exp\left(-\frac{r^2}{4\vartheta}\right). \quad ۱۳$$

چگالی جرمی ۱۳ نمایش دهنده یک منبع فیزیکی است که در فواصل خیلی بزرگ شباهت بسیار زیادی با یک منبع نقطه‌ای دارد؛ اما در فواصل بسیار کوتاه فیزیک جدیدی ارائه می‌دهد. همان‌طور که در مراجع [۳۲، ۳۳] نشان داده شده است، تابع جرم هیوارد ناجابه‌جایی  $M(r)$  برحسب  $h$  و  $\vartheta$  را می‌توان به‌صورت زیر نوشت:

$$M(r) = \frac{mr^3 \left[ G\left(\frac{r}{2\sqrt{\vartheta}}\right) - \frac{r}{\sqrt{\pi\vartheta}} \exp\left(-\frac{r^2}{4\vartheta}\right) \right]}{r^3 + h^3}, \quad ۱۴$$

که در آن تابع خطای گاوسی، به‌صورت

$$G(n) \equiv \frac{2}{\sqrt{\pi}} \int_0^n e^{-y^2} dy, \quad ۱۵$$

تعریف می‌شود. در حد جابه‌جایی و  $h \neq 0$ ، تابع  $M(r)$  به‌سوی تابع جرم هیوارد میل می‌کند، یعنی:

<sup>2</sup> Smailagic and Spallucci

<sup>1</sup> Coordinate coherent states approach



$$\Delta p \sim \frac{1}{2R_{EH}} - \frac{R_{EH}}{4} \mathcal{L}(R_{EH}). \quad 22$$

عدم قطعیت در تعیین انرژی نیز عبارت است از:

$$\Delta E \sim 4\pi T_H, \quad 23$$

که به صورت انرژی مشخصه فوتون‌های تابشی و یا دمای مشخصه‌ای که معادل با دمای هاوکینگ به انضمام ضریب هماهنگی  $4\pi$  است، بیان می‌شود. رابطه عدم قطعیت اصلاح یافته‌ای که شامل تابع چگالی لاگرانژی می‌باشد را می‌توان از HUP، به صورت زیر استخراج نمود:

$$\Delta x \Delta p \geq \frac{1}{2} \left( 1 - \frac{(\Delta x)^2}{2} \mathcal{L}(\Delta x) \right). \quad 24$$

عبارت دوم سمت راست معادله ۲۴ وابسته به پارامترهای هیوارد و ناجابه‌جایی است. بخش اصلاح یافته در معادله بالا، برگرفته از بار مغناطیسی غیرخطی به همراه اثرات ناجابه‌جایی به هنگام ردیابی فوتون است و هیچگونه ارتباطی با اثرات گرانش در قیاس با GUP ندارد. انحراف از جواب متعارف، تنها در ناحیه‌ای محدود حول مبدأ رخ می‌دهد. در حد  $\Delta x \gg 1$  عبارت اول سمت راست رابطه عدم قطعیت اصلاح یافته، جمله غالب است؛ لذا HUP بازیابی می‌شود. در حالی که در حد  $\Delta x \ll 1$  عبارت دوم غالب است و نقش مهمی در نواحی حول مبدأ ایفا می‌کند؛ جایی که گرانش با یک میدان الکترومغناطیسی غیرخطی توصیف می‌گردد و نظریه NCG جایگزین GR می‌شود. چگالی لاگرانژی متناظر برای سیاهچاله هیوارد ناجابه‌جایی برحسب  $h$  و  $\vartheta$  با استفاده از روابط ۱۱ و ۱۴ به شکل زیر به دست می‌آید:

$$\mathcal{L}(r) = 4\pi\rho_\vartheta + \frac{3mh^3}{(r^3+h^3)^2}, \quad 25$$

که در حد  $\vartheta \rightarrow 0$ ، به رابطه ۱۲ برای سیاهچاله هیوارد کاهش می‌یابد و در حد  $h \rightarrow 0$ ، تنها عبارت اول آن

گیری‌ها را با هدف مشاهده موقعیت یک ذره با دقتی بیش از مقیاس طول ذاتی، غیر ممکن می‌سازد.

با توجه به انگیزش اشاره شده در بالا، برای شروع می‌توان ایده‌ای مشابه اما وارون با ایده اوهانیان و رافینی<sup>۱</sup> [۲۷] را ارائه نمود، تا به نوعی GUP دست پیدا کنیم. آنها از HUP بهره گرفتند، تا به یک رهیافت ابتکاری جهت استخراج تابش هاوکینگ دست یابند. ما در رهیافت خود می‌توانیم ابتدا دمای هاوکینگ اصلاح یافته را محاسبه نماییم و از دیدگاهی ابتکاری مشابه با مرجع [۲۷] استفاده کنیم تا به اصل عدم قطعیت اصلاح یافته برای فوتون‌های تابیده دست یابیم. سیاهچاله‌ها، یک طیف گرمایی مشابه با طیف تابش جسم سیاه را که سازگار با علم ترمودینامیک است و به تابش هاوکینگ معروف می‌باشد، از خود ساطع می‌کنند که دمای آن بدین صورت داده می‌شود:

$$T_H = \frac{1}{4\pi} \frac{dU(r)}{dr} \Big|_{r=R_{EH}}, \quad 19$$

که در آن  $R_{EH}$  شعاع افق رویداد<sup>۲</sup> سیاهچاله است. با استفاده از معادلات ۷، ۱۱ و تابع جرم روی افق رویداد، یعنی:

$$M(R_{EH}) = \frac{R_{EH}}{2}, \quad 20$$

به آسانی می‌توان دمای هاوکینگ سیاهچاله هیوارد ناجابه‌جایی را به دست آورد:

$$T_H = \frac{1}{4\pi R_{EH}} - \frac{R_{EH}}{8\pi} \mathcal{L}(R_{EH}). \quad 21$$

این دما به رابطه عدم قطعیت اصلاح شده منجر می‌شود. در این چارچوب، می‌توان انرژی مشخصه فوتون‌های تابش شده ناشی از HUP را تخمین زد. نزدیک سطح سیاهچاله، یک عدم قطعیت ذاتی در یافتن مکان هر ذره‌ای در محدوده شعاع افق ( $\Delta x \sim R_{EH}$ ) وجود دارد. بنابراین می‌توان عدم قطعیت تکانه برحسب عدم قطعیت فاصله و چگالی لاگرانژی را به صورت زیر بیان نمود:

<sup>2</sup> Event horizon radius

<sup>1</sup> Ohanian and Ruffini

تابش هاوکینگ ناگهان متوقف می‌شود. این بدان معناست که به‌جای رفتار واگرایی معمول به هنگام فاز نهایی تبخیر هاوکینگ در شعاع‌های کوچک، به‌ازای مقداری معین از شعاع، دما به صفر می‌رسد. به‌همان دلیل، فاز نهایی تبخیر سیاهچاله به‌عنوان پسمانده سیاهچاله غایی<sup>۱</sup> در نظر گرفته می‌شود. به‌عنوان یک پیامد مهم، حضور یک برش معین از پایین در مقیاس فواصل کوتاه ایجاب می‌کند که قیدی روی تمامی اندازه‌گیری‌ها جهت تعیین مکان ذره در نظریه گرانش ناجابه‌جایی لحاظ شود. بنابراین، می‌بایست شرط  $\mathcal{L} \leq \Delta\mathcal{L}_{\max}$  اعمال گردد؛ چون برای ناحیه‌ای از متریک که شرط  $\Delta\mathcal{L} > \Delta\mathcal{L}_{\max}$  برقرار است، نمی‌توان هیچ‌گونه دمایی تعریف نمود. چنین قیدی از بالا روی عدم قطعیت لاگرانژی، یک شرط لازم در راستای جلوگیری از رفتار ترمودینامیکی غیر عادی در فواصل بسیار کوتاه محسوب می‌شود. در پایان این بخش، ذکر این نکته حائز اهمیت است که اگر جواب باردین به‌عنوان نمونه‌ای دیگر از RBH های معروف انتخاب گردد [۱۷]، با وجود یک تابع جرم متفاوت، باز هم خواص عمومی تماماً هم‌ارز با نتایج بالا به‌دست می‌آیند.

## بهینه‌سازی غیرخطی جواب‌ها در مدل

### سیاهچاله‌های ناتکین

در این بخش، می‌خواهیم یک بهینه‌سازی غیرخطی از جواب‌های خود که در حالت‌های گوناگونی از مدل سیاهچاله‌های ناتکین حاصل می‌گردد، ارائه نماییم. اما قبل از آن، به‌طور مختصر به چگونگی روش بهینه‌سازی غیرخطی در وضعیت‌های گوناگون می‌پردازیم. جهت توصیف این روش، مسأله بهینه‌سازی غیرخطی زیر را در نظر می‌گیریم:

$$\min f(x), \quad 29$$

باقی می‌ماند که به چگالی لاگرانژی برای سیاهچاله شوارتزشیلد ناجابه‌جایی اشاره دارد.

لاگرانژی مشخصه فوتون‌های تابشی، از طریق HUP نیز قابل تخمین زدن است. از آنجایی که  $\Delta x$  متناسب با شعاع افق رویداد است، پس داریم:

$$M(\Delta x) \approx \frac{\Delta x}{2}. \quad 26$$

لذا از معادله ۲۵ می‌توان عدم قطعیت لاگرانژی را برحسب عدم قطعیت فاصله تعیین نمود:

$$\Delta\mathcal{L} \approx \frac{2m}{\Delta x^3 + 3} \left[ \frac{\Delta x^3 \exp\left(-\frac{\Delta x^2}{4\theta}\right)}{\sqrt{\pi\theta^3}} + \frac{3}{m\Delta x^2} \right]. \quad 27$$

جمله عدم قطعیت لاگرانژی نشأت گرفته از اثر ترکیبی منبع مغناطیسی غیرخطی و ناجابه‌جایی می‌باشد؛ به‌طوری‌که برای حالت  $\mathcal{L}(\Delta x) \rightarrow 0$ ، جواب خلاء بازیابی می‌شود، یعنی:

$$\Delta x \Delta p \geq \frac{1}{2}. \quad 28$$

بنابراین هنگامی که  $r \rightarrow \infty$ ، تابع متریک هیوارد ناجابه‌جایی به‌صورت سیاهچاله شوارتزشیلد رفتار می‌کند که به HUP اشاره دارد. در اینجا می‌بایست خاطر نشان نمود که در فواصل کوتاه تنها جواب‌هایی قابل پذیرش هستند که تحت شرط  $r \geq \Delta x_{\min}$  باشند. به‌عبارت دیگر، یک عدم قطعیت کمینه در تعیین مکان وجود دارد که هم‌ارز با شعاع کمینه غیر صفر سیاهچاله ( $\Delta x_{\min} \sim R_{\min}$ ) است؛ به‌گونه‌ای که هر نوع اندازه‌گیری جهت یافتن مکان ذره با دقتی بیش از  $\Delta x_{\min}$  را غیر ممکن می‌سازد. توصیف فیزیکی  $R_{\min}$  معادل با کوچکترین فاصله شعاعی است که ذره آزمون نسبت به منبع قرار می‌گیرد، تا اندازه‌گیری انجام دهد. پس اگر  $r < R_{\min}$  باشد، آنگاه با وضعیت دینامیکی غیر معمولی همچون دمای منفی مواجه می‌شویم [۳۷]. در حقیقت، هنگامی که سیاهچاله به ترکیب غایی در شعاع کمینه (شعاع پسماند) می‌رسد، دما صفر است و

<sup>1</sup> Extremal black hole remnant

الف) همواره  $x_k + \lambda d_k$  شدنی باشد؛ یعنی به‌ازای مقدار  $k$  داشته باشیم:  $x_k + \lambda d_k \in X$ .  
 ب) مقدار تابع هدف در  $x_k + \lambda d_k$  بهتر از مقدار تابع هدف در نقطه  $x_k$  باشد.

پس از تعیین جهت، می‌بایست یک مسأله بهینه‌سازی یک بعدی را برای تعیین طول گام مناسب در راستای جهت  $d_k$  حل نمود. این فرایند منجر به تعیین نقطه  $x_{k+1}$  می‌گردد و همین چرخه مجدداً تکرار می‌شود. اینگونه رهیافت‌ها، معمولاً به جواب‌های کان-تاکر یا گاهی اوقات به نقطه فریتزجان<sup>۱</sup> همگرا می‌شوند. به‌عنوان مثال، مسأله بهینه‌سازی غیرخطی ۳۱ را در نظر بگیرید. سپس، تکرار  $(x_k, u_k, v_k)$  را لحاظ می‌کنیم که در آن  $u_k \geq 0$  و  $v_k$ ، نامقید بوده و به‌عنوان تخمین‌هایی از ضرایب لاگرانژ برای محدودیت‌های نامساوی و مساوی محسوب می‌شوند. حال، مسأله SQP زیر را در نظر می‌گیریم:

۳۲

$$\begin{aligned} \min f(x_k) + \nabla f(x_k)'d + \frac{1}{2}d'\nabla^2 L(x_k)d \\ \text{s.t. } g_i(x_k) + \nabla g_i(x_k)'d \leq 0, i = 1, 2, \dots, m \\ h_j(x_k) + \nabla h_j(x_k)'d = 0, j = 1, 2, \dots, l \end{aligned}$$

که در آن  $\nabla^2 L(x_k)$ ، به‌صورت زیر تعریف می‌شود:

$$\nabla^2 L(x_k) = \nabla^2 f(x_k) + \sum_{i=1}^m \nabla^2 g_i(x_k) + \sum_{j=1}^l \nabla^2 h_j(x_k). \quad 33$$

شرایط کان-تاکر برای مسأله ۳۲ نیازمند این شرط است که در مجموع آغازین شدنی باشد. حال ضرایب لاگرانژ  $u$  و  $v$  را به‌گونه‌ای به‌دست می‌آوریم تا داشته باشیم:

$$\nabla f(x_k) + \nabla^2 L(x_k)d + \sum_{i=1}^m u_i \nabla g_i(x_k) + \sum_{j=1}^l v_j \nabla h_j(x_k) = 0, \quad 34$$

$$u_i [g_i(x_k) + \nabla g_i(x_k)'d] = 0, i = 1, 2, \dots, m \\ u \geq 0$$

که در آن  $v$ ، متغیر آزاد است. بنابراین اگر  $d_k$ ، مسأله ۳۲ را با ضرایب لاگرانژ  $u_{k+1}$  و  $v_{k+1}$  حل نماید و اگر

$$\text{s.t. } g_i(x) \leq 0, i = 1, \dots, m$$

$$h_j(x) = 0, j = 1, \dots, l$$

در عبارت بالا، فرض بر آن است که توابع  $f, g_i$  و  $h_k$  به‌ازای  $i = 1, \dots, m$  و  $j = 1, \dots, l$ ، دو بار به‌طور پیوسته دیفرانسیل پذیر باشند. ضمناً فرض می‌شود که  $x \in \mathbb{R}^n$ ، متغیر تصمیم باشد. طبق تعریف، برای مجموعه شدنی داریم:

$$X = \{x \in \mathbb{R}^n \mid g_i(x) \leq 0, i = 1, \dots, m, \\ h_j(x) = 0, j = 1, \dots, l\}. \quad 30$$

به‌سادگی می‌توان قیود از نوع بزرگتر مساوی را با ضرب طرفین نامعادله در عدد  $(-1)$  به قیود از نوع کوچکتر مساوی تبدیل کرد. همچنین در مسائل بیشینه‌سازی می‌توان قریب‌تابع هدف را کمینه نمود. بنابراین مسأله فوق به‌شکل زیر بازنویسی می‌شود:

$$\min f(x). \quad 31$$

$$\text{s.t. } x \in X$$

اگر به‌ازای هر  $x \in X$  داشته باشیم:  $f(x^*) \leq f(x)$ ، آنگاه جواب شدنی  $x^* \in X$  را یک جواب بهینه برای مسأله بهینه‌سازی غیرخطی فوق گویند. در این صورت  $x^*$  جواب بهینه و  $f(x^*)$  مقدار بهینه مسأله فوق خواهد بود. برای حل مسأله ۳۱ روش‌های متفاوتی وجود دارد که یک دسته‌بندی از آنها شامل روش جهت‌های شدنی می‌باشد. در این گونه از روش‌ها، برای حل یک مسأله بهینه‌سازی غیرخطی از یک نقطه آغازین شدنی حرکت کرده و در راستای یک جهت بهبود دهنده شدنی به نقطه بهبود یافته دست می‌یابند. نحوه عملکرد این نوع از روش‌ها بدین صورت است که از نقطه شدنی  $x_k$  در تکرار  $k$ ام و در راستای جهت شدنی  $d_k$  با طول گام معین  $\lambda > 0$  و به‌اندازه کافی کوچک حرکت می‌کنیم، به‌گونه‌ای که خواص زیر برقرار باشند:

<sup>1</sup> Fritz John point

$$\mathcal{L}(r) = \frac{m}{r^{3+3}} \left( \frac{r^3 \exp\left(-\frac{r^2}{4\vartheta}\right)}{2\sqrt{\pi\vartheta^3}} + \frac{3}{r^{3+3}} \left[ \mathcal{G}\left(\frac{r}{2\sqrt{\vartheta}}\right) - \frac{r}{\sqrt{\pi\vartheta}} \exp\left(-\frac{r^2}{4\vartheta}\right) \right] \right). \quad 35$$

ب) مجموعه قیود حاکم بر تابع هدف را به شکل معادلات قیدی زیر نمایش می‌دهیم:

$$\begin{cases} U(r) \leq 0, \\ T_H \geq 0. \end{cases} \quad 36$$

در ادامه می‌توان حالت‌هایی متفاوت از جواب سیاهچاله‌های ناتکین را به‌ازای مقادیر ویژه‌ای از  $h$  و  $\vartheta$  ایجاد نمود. در اینجا، سه مدل از سیاهچاله‌های ناتکین را ایجاد می‌نماییم:

$$(1) \text{ هیوارد } (h = 1 \text{ و } \vartheta = 0)$$

$$(2) \text{ شوارتزشیلد ناجابه‌جایی } (h = 0 \text{ و } \vartheta = 1)$$

$$(3) \text{ هیوارد ناجابه‌جایی } (h = 1 \text{ و } \vartheta = 1)$$

علت ناتکین شدن جواب در این سیاهچاله‌ها به ترتیب به حضور بار مغناطیسی، اثر ناجابه‌جایی و بار مغناطیسی در فضای ناجابه‌جایی نسبت داده می‌شود. در این وضعیت‌ها، می‌توان جواب‌های بهینه را با بهره‌گیری از رهیافت بهینه‌سازی غیرخطی استخراج نمود. این نتایج در جدول ۱ به نمایش گذاشته شده‌اند.

جدول ۱. جواب‌های متناظر با انواع ویژه‌ای از سیاهچاله‌ها. نتایج عددی زیر، گویای فاصله کمینه و عدم قطعیت لاگرانژی بیشینه به‌ازای مقادیر ویژه‌ای از  $h$  و  $\vartheta$  می‌باشند.

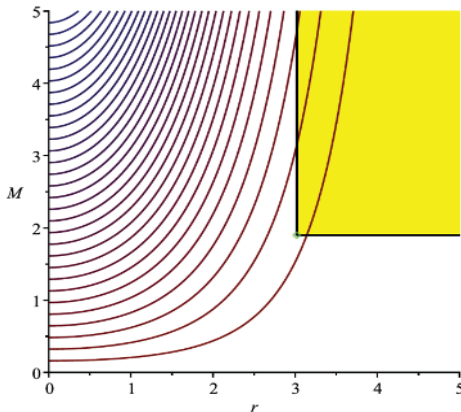
سیاهچاله هیوارد ناجابه‌جایی	سیاهچاله شوارتزشیلد ناجابه‌جایی	سیاهچاله هیوارد
$\Delta x_{\min} \cong 3/1$	$\Delta x_{\min} \cong 3$	$\Delta x_{\min} \cong 1/3$
$\Delta \mathcal{L}_{\max} \cong 0/2$	$\Delta \mathcal{L}_{\max} \cong 0/2$	$\Delta \mathcal{L}_{\max} \cong 1/3$

در جدول ۱، نتایج عددی عدم قطعیت کمینه در تعیین فاصله و همچنین عدم قطعیت بیشینه در تعیین چگالی لاگرانژی به‌ازای مقادیر ویژه‌ای از  $h$  و  $\vartheta$  ارائه شده‌اند. همان‌گونه که از مقادیر جدول ۱ پیداست، نتایج ما با جواب‌های عددی مراجع [۳۲، ۳۳] مطابقت دارند. در

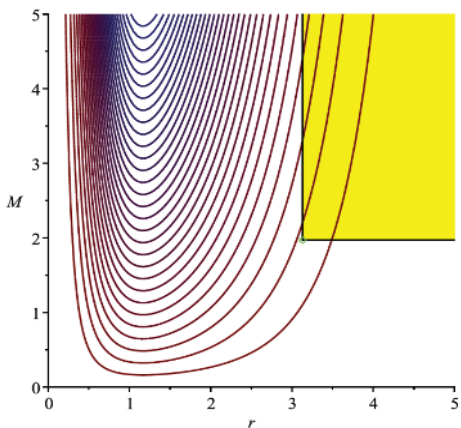
$d_k = 0$  باشد، آنگاه  $x_k$  در امتداد با  $(u_{k+1}, v_{k+1})$  به جواب کان-تاکر برای مسئله اصلی ۳۱ منجر خواهد شد. در غیر این صورت، عبارت  $x_{k+1} = x_k + d_k$  را قرار می‌دهیم و فرایند را مجدداً تکرار می‌کنیم. از نقاط قوت و ضعف استفاده از این الگوریتم می‌توان روی این موارد تأکید نمود که تحت شرایط مناسب، همگرایی روش SQP به جواب بهینه، از مرتبه دوم بوده و نزدیک بودن نقطه  $x_k$  به جواب بهینه، شرط کافی برای همگرایی می‌باشد. از سویی دیگر، یکی از ضعف‌های این روش نیاز به محاسبه مشتق دوم است و همچنین این امکان وجود دارد که ماتریس  $\nabla^2 L(x_k)$  معین مثبت نباشد که می‌توان با بهره‌گیری از تقریب‌های معین مثبت روش شبه‌نیوتن، مشکل فوق را برطرف نمود. جزئیات بیشتر درباره شرایط همگرایی کان-تاکر، فریتزجان و روش SQP را می‌توان در مراجع [۳۸-۴۳] مشاهده نمود. در این مقاله برای حل مسئله بهینه‌سازی غیرخطی حاصله از مدل فیزیکی، از روش SQP استفاده می‌شود. مدل فیزیکی ما متناظر با جواب‌های ناشی از حضور بارهای متنوع در سیاهچاله‌های ناتکین است که شامل قیودی از نوع صورت نامساوی غیرخطی می‌باشد. در اینجا می‌خواهیم تابع چگالی لاگرانژی ۲۵ را تحت شروطی فیزیکی بیشینه نماییم. مطابق این شروط، دمای هاوکینگ نمی‌تواند مقادیری منفی اختیار نماید، چون در غیر این صورت منجر به رفتار ترمودینامیکی غیر معمول خواهد شد. همچنین، شرط حضور افق رویداد این است که تابع متریک سیاهچاله، مقادیری منفی یا صفر داشته باشد. جهت رسیدن به این اهداف، به ترتیب زیر عمل می‌کنیم:

الف) تابع دقیق چگالی لاگرانژی را (معادله ۲۵) تحت عنوان تابع هدف مجدداً معرفی می‌کنیم:

شعاع سیاهچاله پسماند اشاره دارد. جرم پسماند کمینه در این حالت تقریباً معادل با  $M_{\min} \cong 0,9$  می‌باشد. ناحیه شدنی با رنگ زمینه زرد و ناحیه غیرشدنی با زمینه سفید مشخص گردیده است.



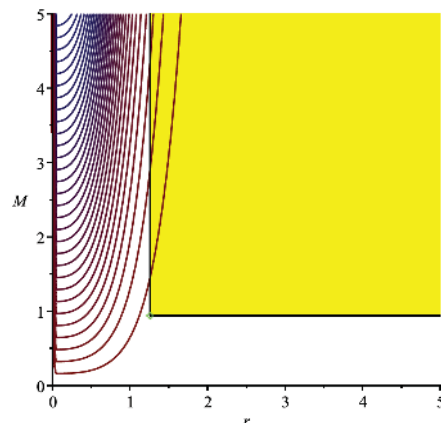
شکل ۲. منحنی‌های  $M$  برحسب  $r$  برای سیاهچاله شوارتزشیلد ناجابه‌جایی تحت قید  $\Delta x_{\min} \geq 3$  رسم شده است. نقطه سبز رنگ به مقادیر کمینه جرم و شعاع سیاهچاله پسماند اشاره دارد. جرم پسماند کمینه در این حالت تقریباً معادل با  $M_{\min} \cong 1,9$  می‌باشد. ناحیه شدنی با رنگ زمینه زرد و ناحیه غیرشدنی با زمینه سفید مشخص گردیده است.



شکل ۳. منحنی‌های  $M$  برحسب  $r$  برای سیاهچاله هیوارد ناجابه‌جایی تحت قید  $\Delta x_{\min} \geq 3,1$  رسم شده است. نقطه سبز رنگ به مقادیر کمینه جرم و شعاع سیاهچاله پسماند اشاره دارد. جرم پسماند کمینه در این حالت تقریباً معادل با  $M_{\min} \cong 2$  می‌باشد. ناحیه شدنی با رنگ زمینه زرد و ناحیه غیرشدنی با زمینه سفید مشخص گردیده است.

حال با فرض نامنفی بودن پارامترهای آزاد  $h$  و  $\vartheta$ ، به کمک روش SQP، مقدار بیشینه تابع هدف را تحت قیود اعمالی ۳۶ تعیین می‌نماییم. بر این اساس، به‌طور مشابه با حالت قبل، یک جواب بهینه به‌ازای مقادیر ویژه

ضمن، می‌توان نمودارهای جرم برحسب شعاع سیاهچاله را با توجه به قیود اعمالی در سه حالت مذکور رسم نمود و نواحی شدنی را روی جواب‌ها متمایز کرد. این نتایج را می‌توانید در شکل‌های ۱، ۲ و ۳ که به ترتیب به سیاهچاله‌های هیوارد، شوارتزشیلد ناجابه‌جایی و هیوارد ناجابه‌جایی اشاره دارند، ملاحظه نمایید. نتایج حاصل در توافق با جدول ۱ می‌باشند. جرم‌های کمینه در سیاهچاله‌های پسماند به ترتیب برای حالت‌های مذکور تقریباً معادل با  $M_{\min} \cong 1,9$ ،  $M_{\min} \cong 0,9$  و  $M_{\min} \cong 2$  محاسبه می‌گردند. نتایج هر سه نوع سیاهچاله به‌ازای فواصل خیلی بلند، یعنی:  $\Delta x \rightarrow \infty$  با یکدیگر معادلند که به  $\Delta \mathcal{L} \rightarrow 0$  منجر می‌شود. همان‌طور که از قبل بیان شده است، تنها جواب‌هایی قابل قبول هستند که تحت شرط  $r \geq R_{\min}$  برقرار باشند. با توجه به مقادیر پارامترهای سیاهچاله پسماند در ۲ حالت شوارتزشیلد ناجابه‌جایی و هیوارد ناجابه‌جایی، مشاهده می‌گردد که پارامتر ناجابه‌جایی در قیاس با پارامتر هیوارد اثر غالب داشته است؛ به‌گونه‌ای که پارامترهای غائی در ۲ حالت مذکور بسیار نزدیک به هم می‌باشند، در حالی که تفاوت محسوسی در سیاهچاله هیوارد که صرفاً به کمک بار مغناطیسی در مبدأ آن ناتکین شده است، دیده می‌شود.



شکل ۴. منحنی‌های  $M$  برحسب  $r$  برای سیاهچاله هیوارد تحت قید  $\Delta x_{\min} \geq 1,3$  رسم شده است. نقطه سبز رنگ به مقادیر کمینه جرم و

اثرات ناچیز ناجابه‌جایی در آن باعث ایجاد سیاهچاله پسماند و در نتیجه ناتکین شدن جواب شده است.

$\theta$ ،  $h$ ،  $M_{\min}$  و  $R_{\min}$  به دست می‌آید که به یک مقدار بیشینه بهینه برای تابع عدم قطعیت لاگرانژی منجر می‌شود:

$$\begin{cases} h = 0 \\ \theta \cong 7 \times 10^{-10} \\ M_{\min} \cong 13 \\ R_{\min} \cong 2 \times 10^{-5} \end{cases} \Rightarrow \Delta \mathcal{L}_{\max} \cong 4 \times 10^7 \quad 37$$

با توجه به جواب بالا مشاهده می‌گردد که حالت بهینه تقریباً مستقل از اثرات کوآنتمومی است، یعنی جوابی متناظر با حالت کلاسیک در فواصل بسیار کوتاه حاصل شده است؛ البته با این تفاوت که این بار حضور یک جرم پسماند کاملاً مشهود است و قطعاً این نتیجه منجر به ناتکین شدن جواب خواهد شد که با وجود صفر شدن بار مغناطیسی، می‌توان دلیل آن را تنها به غیر صفر بودن (اگرچه بسیار کوچک) پارامتر ناجابه‌جایی نسبت داد. چنین نتیجه‌ای اذعان دارد که اثرات ناجابه‌جایی هرچند بسیار اندک به تنهایی کفایت می‌کند تا از تکین شدن جواب کلاسیک در فواصل بسیار کوتاه جلوگیری نماید.

### خلاصه و نتیجه‌گیری

در این مقاله، به‌طور خلاصه به جستجوی جواب‌های بهینه در سیاهچاله‌های ناتکین در چارچوب نظریه اینشتین-NED به‌همراه اثرات ناجابه‌جایی و بر اساس فرمولبندی مختصه حالت همدوس پرداخته شد. در این راستا، به‌کمک روش SQP، مقدار بیشینه تابع هدف تحت قیود غیرخطی از نوع نامساوی تعیین گردید و یک مقدار بیشینه بهینه برای تابع عدم قطعیت لاگرانژی به‌ازای مقادیری ویژه از پارامترهای آزاد مسأله حاصل شد. تفسیر فیزیکی حاصل از خروجی نهایی الگوریتم SQP، اذعان دارد که فاز نهایی تبخیر سیاهچاله به جواب کلاسیک نزدیکتر است؛ با این تفاوت که حضور

### مرجع‌ها

- [1] W.P. Fox, *Nonlinear Optimization: Models and Applications*, CRC Press, Taylor & Francis Group, LLC, (2021).  
<https://www.routledge.com/Nonlinear-Optimization-Models-and-Applications/Fox/p/book/9780367444150>
- [2] J.E. Dennis. Jr, R.B. Schnabel, *Numerical Methods for Unconstrained Optimization and Nonlinear Equations*, Society for Industrial Mathematics, Philadelphia, PA, (1996).  
<https://www.amazon.com/Numerical-Unconstrained-Optimization-Nonlinear-Mathematics/dp/0898713641>
- [3] W.C. Davidon, Optimally conditioned optimization algorithms without line searches, *Mathematical Programming* 9 (1975) 1-30.  
<https://doi.org/10.1007/BF01681328>
- [4] J.E. Dennis. Jr, J.J. Moré, Quasi-Newton methods, motivation and theory, *SIAM review* 19 (1977) 46-89.  
<https://doi.org/10.1137/1019005>
- [5] J.S. Arora, Computational design optimization: a review and future directions, *Structural Safety* 7 (1990) 131-148.  
[https://doi.org/10.1016/0167-4730\(90\)90063-U](https://doi.org/10.1016/0167-4730(90)90063-U)
- [6] J.S. Arora, A.I. Chahande, J.K. Paeng, Multiplier methods for engineering optimization, *International journal for numerical methods in engineering* 32 (1991) 1485-1525.  
<https://doi.org/10.1002/nme.1620320706>
- [7] J.S. Arora, *Introduction to optimum design (4th Edition)*, Academic Press, Elsevier, (2016).  
<https://www.elsevier.com/books/introduction-to-optimum-design/arora/978-0-12-800806-5>

- Singularities*, Milano, Italy, (2007).  
<https://arxiv.org/pdf/0802.0330>
- [15] P. Nicolini, Noncommutative black holes, the final appeal to quantum gravity: a review, *International Journal of Modern Physics A* **24** (2009) 1229-1308.  
<https://doi.org/10.1142/S0217751X09043353>
- [16] E. Ayon-Beato, A. Garcia, Regular black hole in general relativity coupled to nonlinear electrodynamics, *Physical review letters* **80** (1998) 5056-5059.  
<https://doi.org/10.1103/PhysRevLett.80.5056>
- [17] J.M. Bardeen, *Non-singular general-relativistic gravitational collapse*, Proceedings of the International Conference GR5, Tbilisi, Georgia, (1968).  
[http://scholar.google.com/scholar\\_lookup?&title=Proceedings%20of%20International%20Conference%20GR5&publication\\_year=1968&author=Bardeen%2CJ.%20M.](http://scholar.google.com/scholar_lookup?&title=Proceedings%20of%20International%20Conference%20GR5&publication_year=1968&author=Bardeen%2CJ.%20M.)
- [18] S.A. Hayward, Formation and evaporation of nonsingular black holes, *Physical review letters* **96** (2006) 031103.  
<https://doi.org/10.1103/PhysRevLett.96.031103>
- [19] Z.Y. Fan, X. Wang, Construction of regular black holes in general relativity, *Physical Review D* **94** (2016) 124027.  
<https://doi.org/10.1103/PhysRevD.94.124027>
- [20] K.A. Bronnikov, Nonlinear electrodynamics, regular black holes and wormholes, *International Journal of Modern Physics D* **27** (2018) 1841005.  
<https://doi.org/10.1142/S0218271818410055>
- [21] S.N. Sajadi, N. Riaz, Correction to: Nonlinear electrodynamics and regular black holes, *General Relativity and Gravitation* **52** (2020) 18.  
<https://doi.org/10.1007/s10714-020-02668-0>
- [8] A. Ajagekar, T. Humble, F. You, Quantum computing based hybrid solution strategies for large-scale discrete-continuous optimization problems, *Computers & Chemical Engineering* **132** (2020) 106630.  
<https://doi.org/10.1016/j.compchemeng.2019.106630>
- [9] M.J. Mahmoodabadi, F. Sadeghi Googhari, Numerical solution of time-dependent Schrodinger equation by combination of the finite difference method and particle swarm optimization, *Journal of Research on Many-body Systems* **11** (2021) 114-127.  
<https://dx.doi.org/10.22055/jrmbms.2021.16786>
- [10] H. Li, L. Gao, H. Li, X. Li, H. Tong, Full-scale topology optimization for fiber-reinforced structures with continuous fiber paths, *Computer Methods in Applied Mechanics and Engineering* **377** (2021) 113668.  
<https://doi.org/10.1016/j.cma.2021.113668>
- [11] F. Karimi-Pour, V. Puig, C. Ocampo-Martinez, Economic model predictive control of nonlinear systems using a linear parameter varying approach, *International Journal Robust Nonlinear Control* (2021) 1-21.  
<https://doi.org/10.1002/rnc.5477>
- [12] A. Pourrajabian, M. Dehghan, S. Rahgozar, Genetic algorithms for the design and optimization of horizontal axis wind turbine (HAWT) blades: A continuous approach or a binary one?, *Sustainable Energy Technologies and Assessments* **44** (2021) 101022.  
<https://doi.org/10.1016/j.seta.2021.101022>
- [13] S.W. Hawking, G. Ellis, *The Large Scale Structure of Space-Time*, Cambridge University Press, Cambridge, (1973).  
<https://doi.org/10.1017/CBO9780511524646>
- [14] S. Ansoldi, Spherical black holes with regular center: a review of existing models including a recent realization with Gaussian sources, *Proceedings of BH<sub>2</sub>, Dynamics and Thermodynamics of Blackholes and Naked*

- [30] A. Smailagic, E. Spallucci, Feynman path integral on the non-commutative plane, *Journal of Physics A: Mathematical and General* **36** (2003) L467. <https://doi.org/10.1088/0305-4470/36/33/101>
- [31] S.H. Mehdipour, M.H. Ahmadi, A comparison of remnants in noncommutative Bardeen black holes, *Astrophysics and Space Science* **361** (2016) 314. <https://doi.org/10.1007/s10509-016-2904-z>
- [32] S.H. Mehdipour, M.H. Ahmadi, Black hole remnants in Hayward solutions and noncommutative effects, *Nuclear Physics B* **926** (2018) 49-69. <https://doi.org/10.1016/j.nuclphysb.2017.09.021>
- [33] S.H. Mehdipour, Emergent GUP from Modified Hawking Radiation in Einstein-NED Theory, *Canadian Journal of Physics* **98** (2020) 801-809. <https://doi.org/10.1139/cjp-2019-0416>
- [34] S. Nayak, *Fundamentals of Optimization Techniques with Algorithms*, Academic Press, Elsevier Inc., (2020). <https://www.elsevier.com/books/fundamentals-of-optimization-techniques-with-algorithms/nayak/978-0-12-821126-7>
- [35] M.J. Kochenderfer, T.A. Wheeler, *Algorithms for optimization*, The MIT Press, Cambridge, MA, (2019). <https://mitpress.mit.edu/books/algorithms-optimization>
- [36] J. Nocedal, S.J. Wright, *Numerical Optimization*, Springer-Verlag, New York, NY, (1999). <https://doi.org/10.1007/b9887>
- [37] S.H. Mehdipour, Entropic force approach to noncommutative Schwarzschild black holes signals a failure of current physical ideas, *The European Physical Journal Plus* **127** (2012) 80. <https://doi.org/10.1140/epjp/i2012-12080-4>
- [38] O.L. Mangasarian, S. Fromovitz, The Fritz John necessary optimality conditions in the presence of equality and inequality
- [22] S.H. Mehdipour, Teleparallel gravity coupled to matter content from nonlinear electrodynamics with dyonic configuration, *The European Physical Journal Plus* **136** (2021) 351. <https://doi.org/10.1140/epjp/s13360-021-01345-8>
- [23] H. Hinrichsen, A. Kempf, Maximal localization in the presence of minimal uncertainties in positions and in momenta, *Journal of Mathematical Physics* **37** (1996) 2121-2137. <https://doi.org/10.1063/1.531501>
- [24] A. Tawfik, A. Diab, Generalized uncertainty principle: Approaches and applications, *International Journal of Modern Physics D* **23** (2014) 1430025. <https://doi.org/10.1142/S0218271814300250>
- [25] Y.S. Myung, Y.W. Kim, Y.J. Park, Black hole thermodynamics with generalized uncertainty principle, *Physics Letters B* **645** (2007) 393-397. <https://doi.org/10.1016/j.physletb.2006.12.062>
- [26] R.J. Adler, P. Chen, D.I. Santiago, The generalized uncertainty principle and black hole remnants, *General Relativity and Gravitation* **33** (2001) 2101-2108. <https://doi.org/10.1023/A:1015281430411>
- [27] H.C. Ohanian, R. Ruffini, *Gravitation and spacetime*, Cambridge University Press, Cambridge, (2013). <https://doi.org/10.1017/CBO9781139003391>
- [28] M. Maggiore, A generalized uncertainty principle in quantum gravity, *Physics Letters B* **304** (1993) 65-69. [https://doi.org/10.1016/0370-2693\(93\)91401-8](https://doi.org/10.1016/0370-2693(93)91401-8)
- [29] M. Sprenger, P. Nicolini, M. Bleicher, Physics on the smallest scales: an introduction to minimal length phenomenology, *European Journal of Physics* **33** (2012) 853. <https://doi.org/10.1088/0143-0807/33/4/853>



- [41] H. Pirnay, R. López-Negrete, L.T. Biegler, Optimal sensitivity based on IPOPT, *Mathematical Programming Computation* **4** (2012) 307-331. <https://doi.org/10.1007/s12532-012-0043-2>
- [42] A. Ghane-Kanafi, E. Khorram, A new scalarization method for finding the efficient frontier in non-convex multi-objective problems, *Applied Mathematical Modelling* **39** (2015) 7483-7498. <https://doi.org/10.1016/j.apm.2015.03.022>
- [43] A. Ghane-Kanafi, S. Kordrostami, A New Approach for Solving Nonlinear Equations by Using of Integer Nonlinear Programming, *Applied Mathematics* **7** (2016) 473-481. <http://dx.doi.org/10.4236/am.2016.7604>
- constraints, *Journal of Mathematical Analysis and applications* **17** (1967) 37-47. [https://doi.org/10.1016/0022-247X\(67\)90163-1](https://doi.org/10.1016/0022-247X(67)90163-1)
- [39] M.A. Hanson, On sufficiency of the Kuhn-Tucker conditions, *Journal of Mathematical Analysis and Applications* **80** (1981) 545-550. [https://doi.org/10.1016/0022-247X\(81\)90123-2](https://doi.org/10.1016/0022-247X(81)90123-2)
- [40] M. Fukushima, A successive quadratic programming algorithm with global and superlinear convergence properties, *Mathematical Programming* **35** (1986) 253-264. <https://doi.org/10.1007/BF01580879>